

# Uvid u degradaciju perovskitnih materijala i strategije stabilizacije

Stjepan Dolić

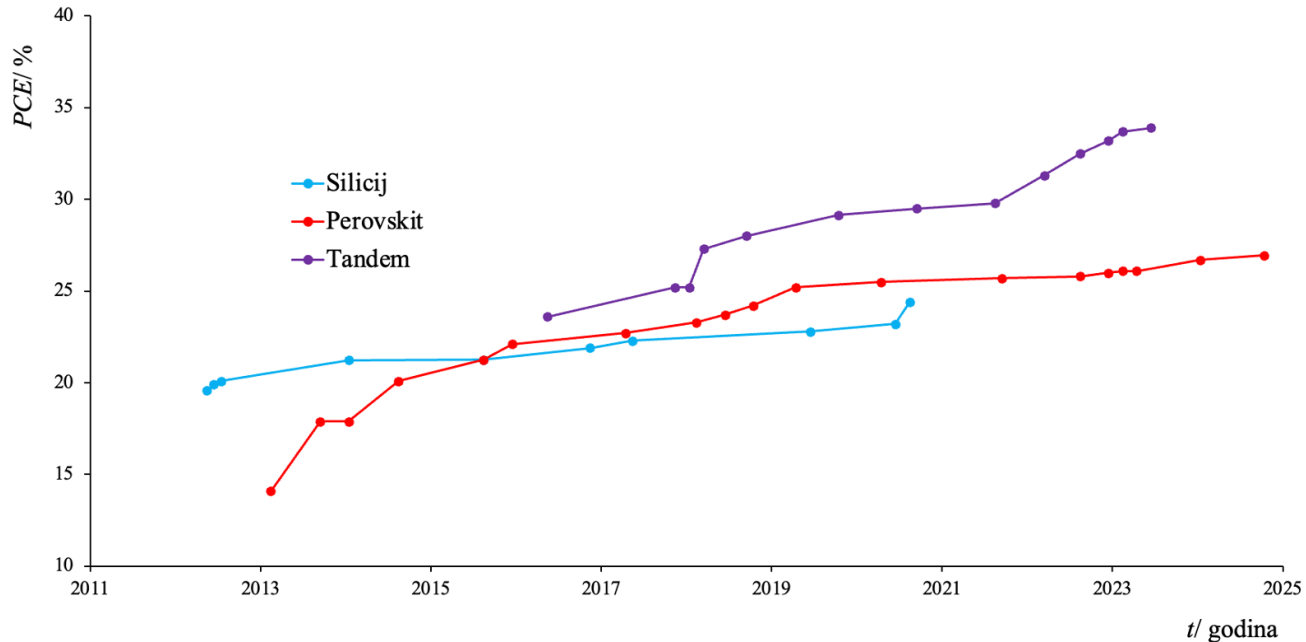
Zavod za fizikalnu kemiju

Kemijski odsjek, Prirodoslovno-matematički Fakultet, Sveučilište u Zagrebu

Seminarski rad

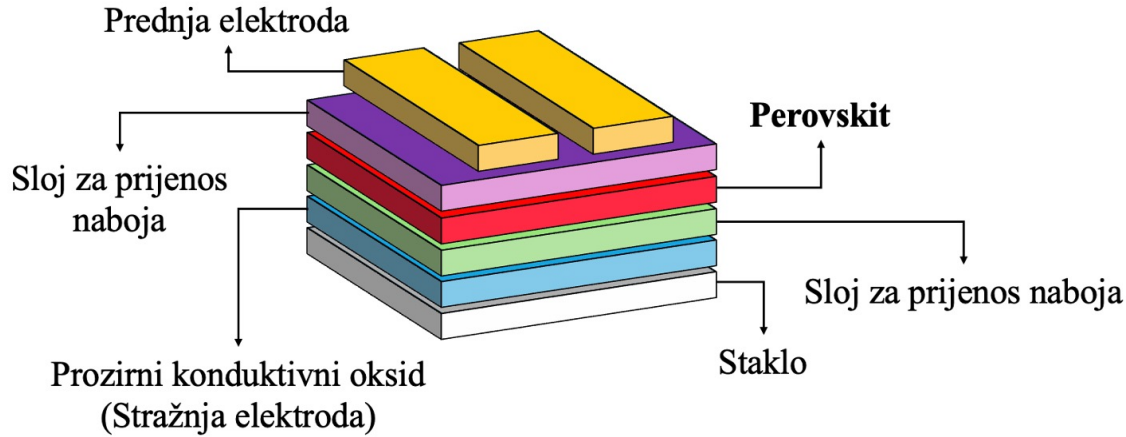
23. Travnja 2025.

# Razvoj perovskitne fotonaponske tehnologije



Najviše postignute energijske efikasnosti fotonaponskih ćelija  
sazdanih od različitih materijala

# Što su perovskitne fotonaponske ćelije?



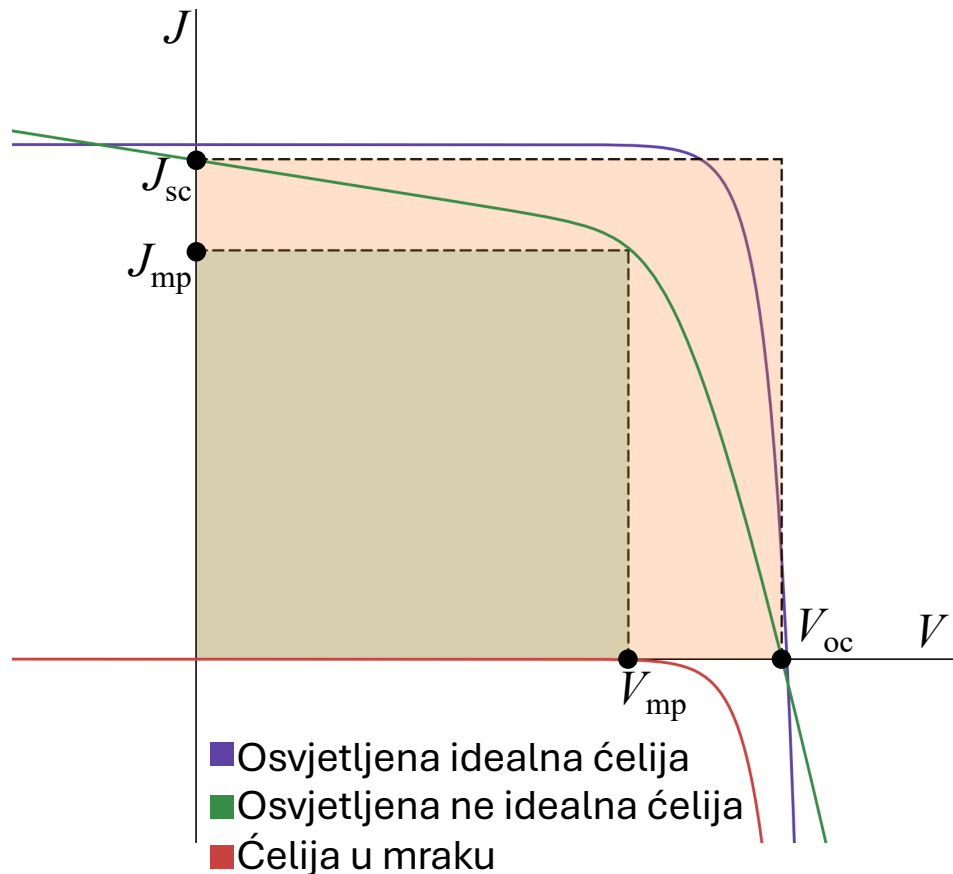
- Općenita formula Perovskitnih spojeva: **ABX<sub>3</sub>**
  - **A<sup>+</sup>** = Cs<sup>+</sup>, Rb<sup>+</sup>, CH<sub>3</sub>NH<sub>3</sub><sup>+</sup> (MA<sup>+</sup>), CH(NH<sub>2</sub>)<sub>2</sub><sup>+</sup> (FA<sup>+</sup>)...
  - **B<sup>2+</sup>** = Pb<sup>2+</sup>, Sn<sup>2+</sup>
  - **X<sup>-</sup>** = I<sup>-</sup>, Br<sup>-</sup>, Cl<sup>-</sup>, SCN<sup>-</sup>...

Općenita arhitektura perovskitne fotonaponske ćelije.

# Strujno-naponska mjerenja

- Strujno-naponski parametri daju uvid u prirodu strukturnih deformacija
- Različiti parametri daju informacije o pojedinim strukturnim aspektima

$$\eta = \frac{FFJ_{sc}V_{oc}}{P_{IN}} \quad ; \quad FF = \frac{J_{MP}V_{MP}}{J_{sc}V_{oc}}$$

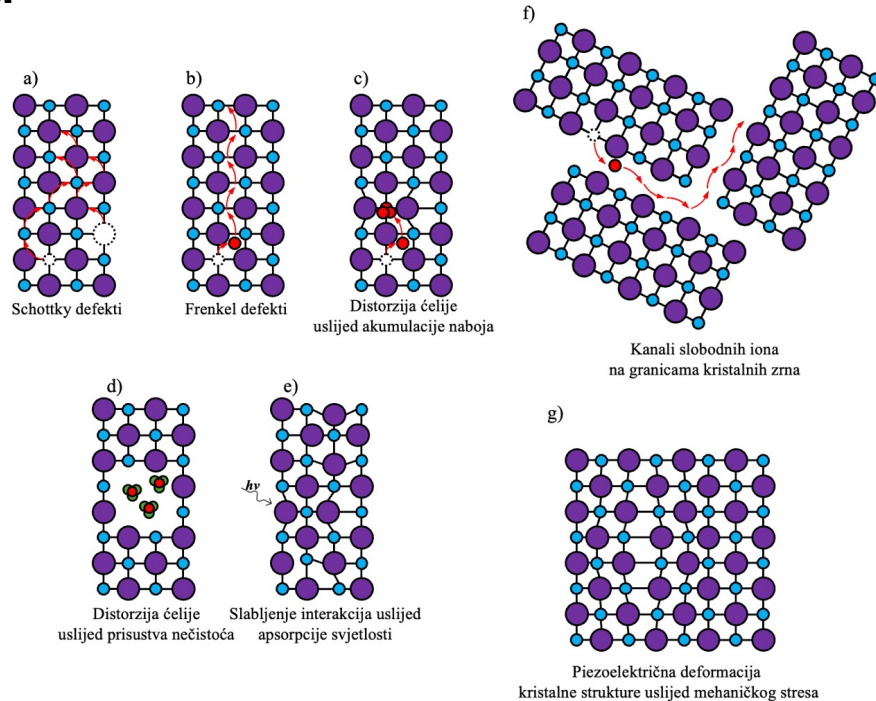


Grafički prikaz  $J$ - $V$  krivulje fotonaponske ćelije.

# Glavni problemi perovskitnih fotonaponskih ćelija

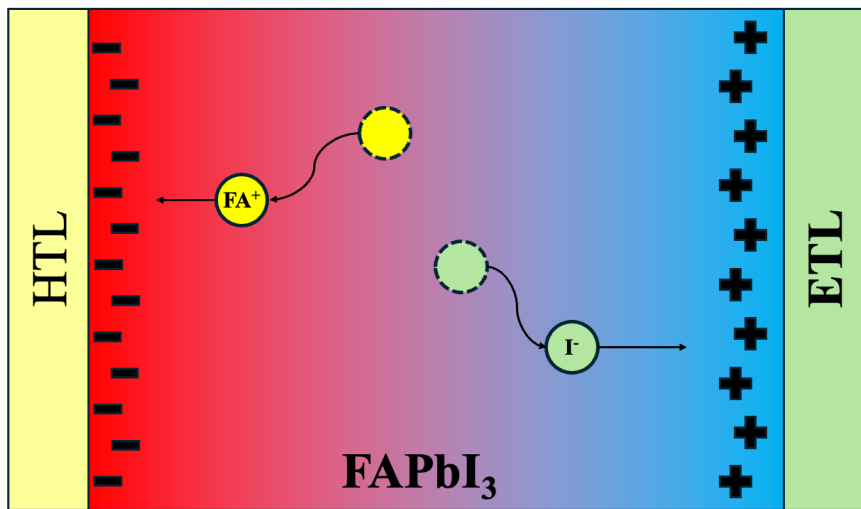
- Izrazito niska izdržljivost
- Kompleksan mehanizam degradacije
- Osjetljivost na vlagu, kisik, svjetlost te temperaturni i mehanički stres
- **Cilj ovog seminarskog rada:** prezentirati poznate mehanizme degradacije i efikasne strategije stabilizacije

# Najčešći defekti kristalne strukture u perovskitnim materijalima



Shematski prikaz najčešćih kristalnih defekata u perovskitnim materijalima.

# Migracija iona u kristalnoj strukturi



Shematski prikaz migracije ionskih vrsta u perovskitnoj fotonaponskoj ćeliji.

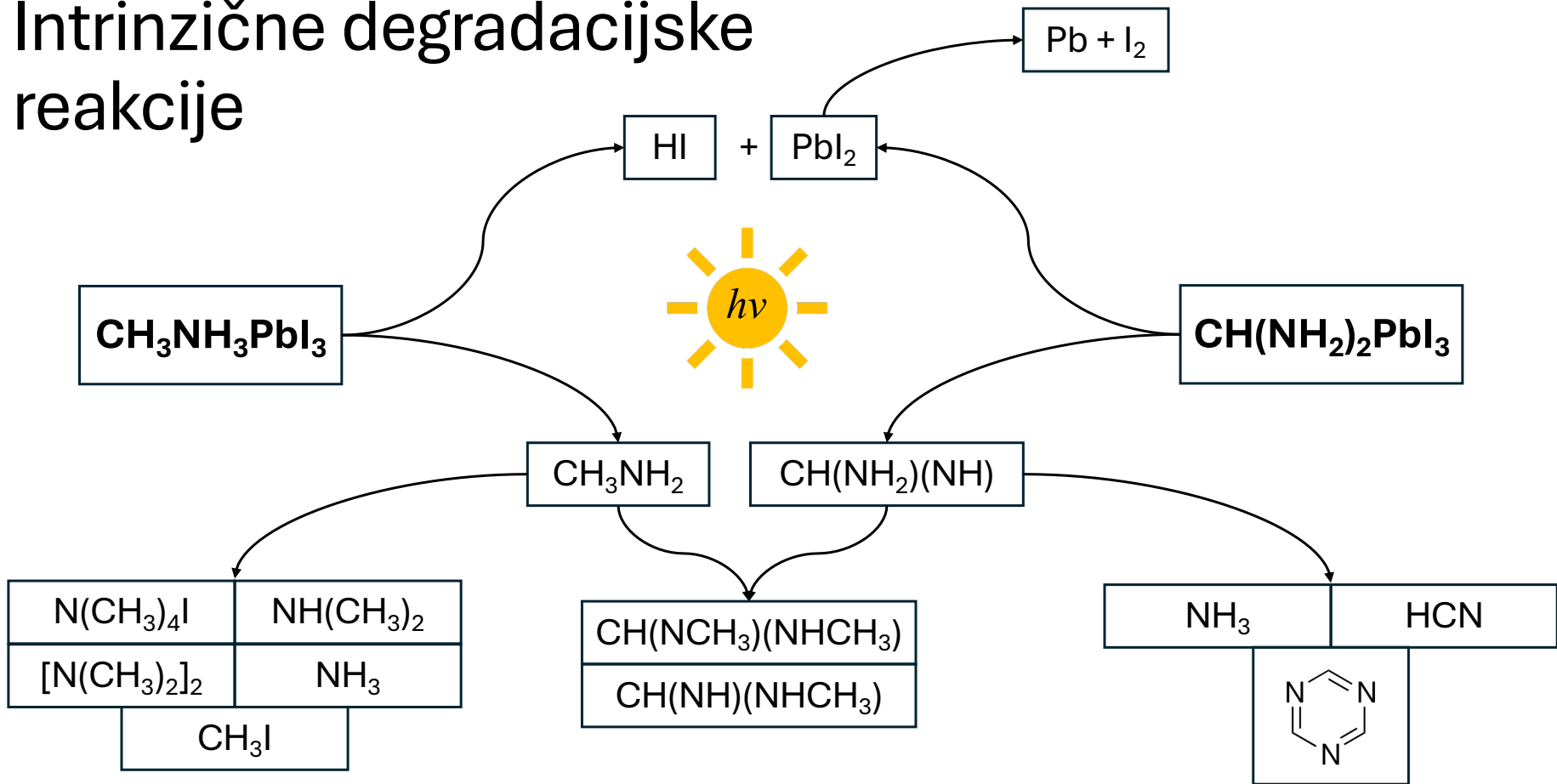
- Kationska šupljina
- Anionska šupljina

- Ionske vrste migriraju pod utjecajem električnog polja
- Na granicama kristalnih zrna formiraju se kanali slobodnih iona

$$\overbrace{-D(X_i)\nabla^2 c(X_i)}^{\text{1}} + \overbrace{\frac{qD(X_i)}{k_B T} \nabla^2 \phi}_{\text{2}} = \frac{\partial c(X_i)}{\partial t}$$

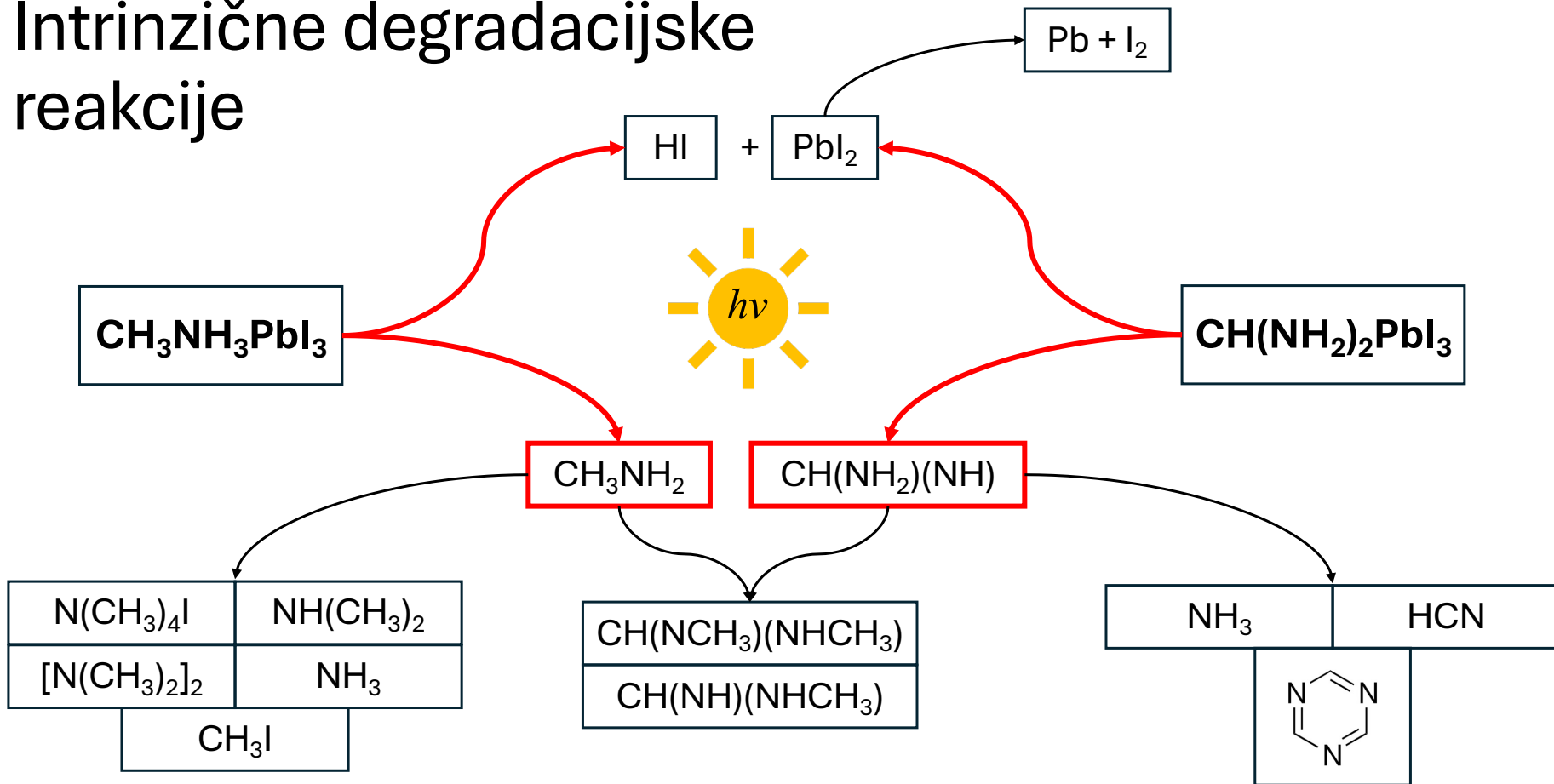
1. Difuzijski kontrolirana migracija
2. Migracija pod utjecajem električnog polja

# Intrinzične degradacijske reakcije



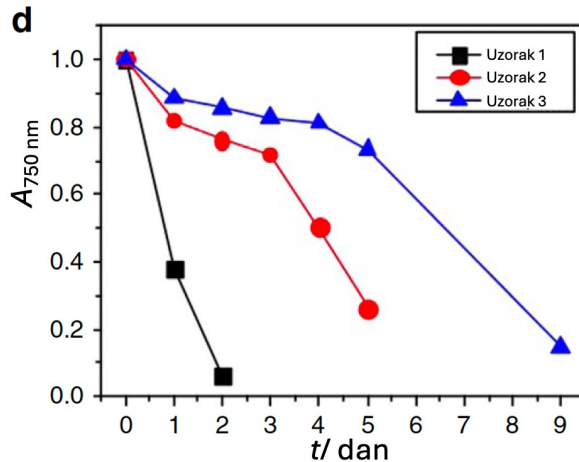
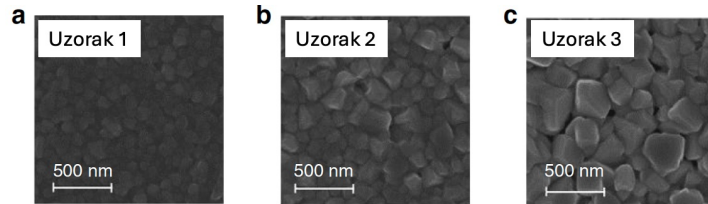
Schema intrinzičnih degradacijskih reakcija perovskitnih materijala.

# Intrinzične degradacijske reakcije



Schema intrinzičnih degradacijskih reakcija perovskitnih materijala.

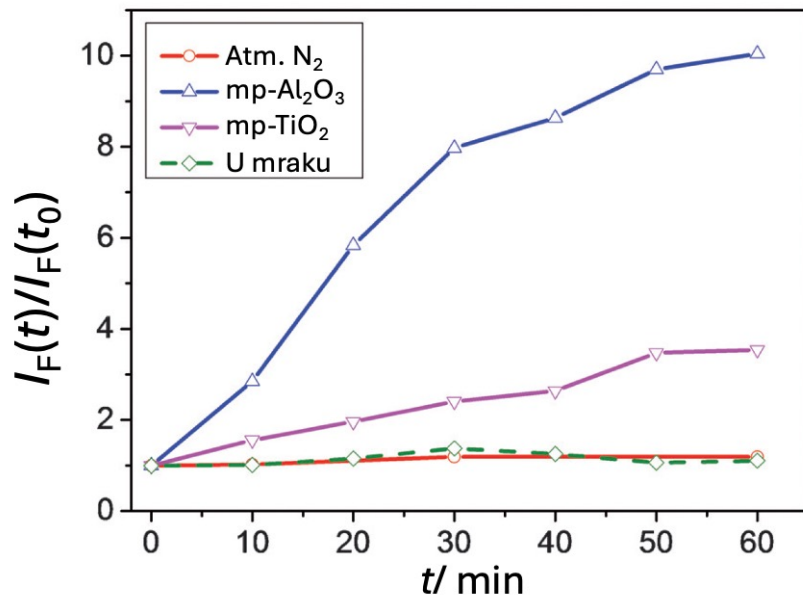
# Utjecaj kisika



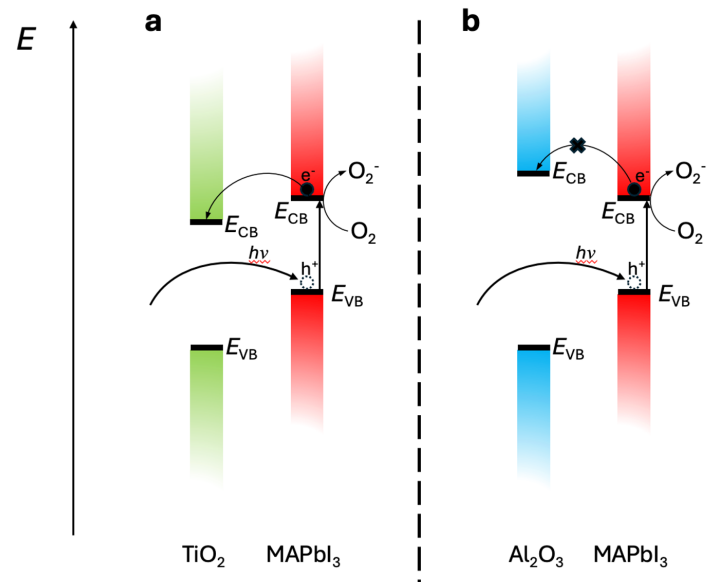
(a-c) SEM slike tankih filmova  $\text{CH}_3\text{NH}_3\text{PbI}_3$  s različitim veličinama kristalnih zrna, (d) normirana promjena apsorbancije u vremenu (preuzeto iz literature).

- Formacija superoksidnih ( $\text{O}_2^-$ ) vrsta i elementarnog joda
- Nastale  $\text{O}_2^-$  vrste daljnje oksidiraju jodidne ione
- Brzina degradacije ovisi o veličini kristalnih zrna

# Utjecaj kisika

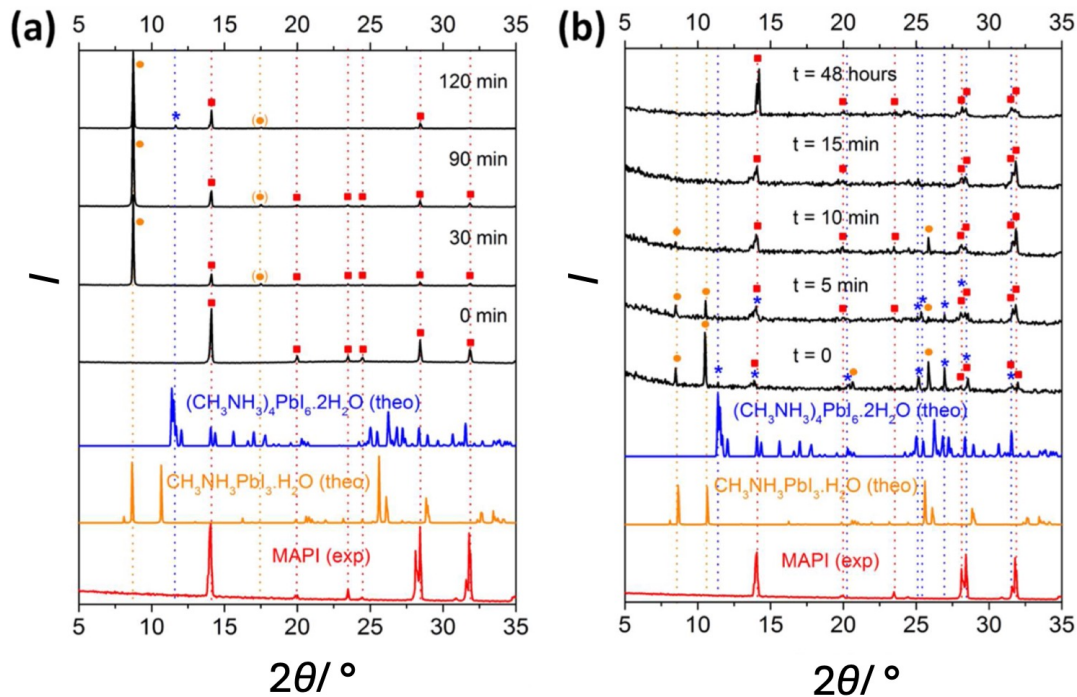


Promjena normiranog intenziteta fluorescencije pri 610 nm. Valna duljina upadnog zračenja iznosi 520 nm (preuzeto iz literature).



Shematski prikaz energijskih vrpci i procesa prijenosa elektrona za (a) TiO<sub>2</sub> i MAPbI<sub>3</sub> te (b) Al<sub>2</sub>O<sub>3</sub> i MAPbI<sub>3</sub>.

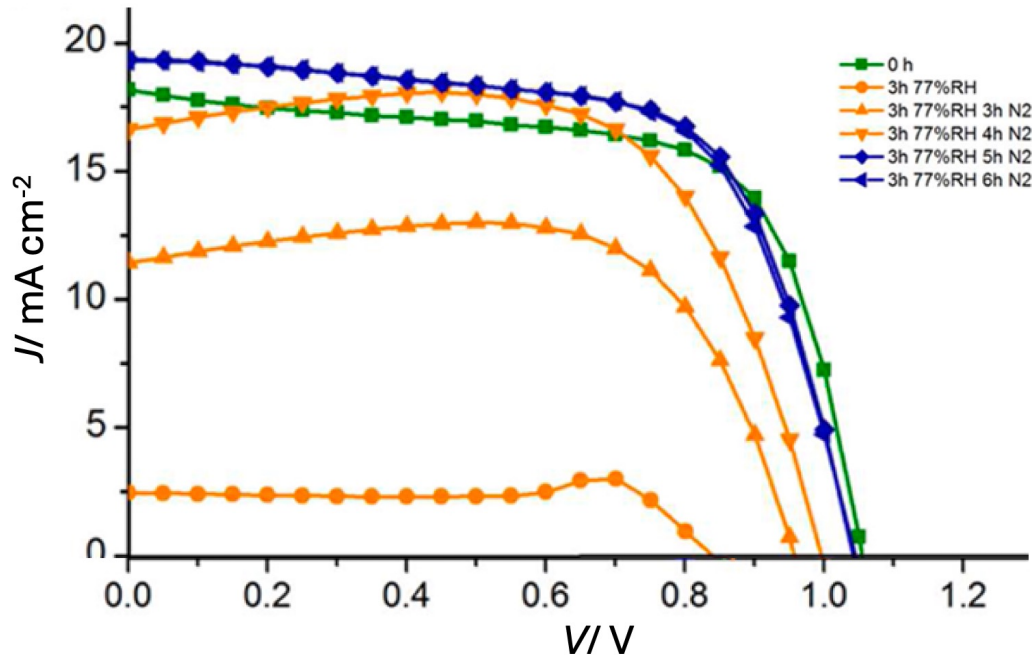
# Utjecaj vode



- U prisustvu vode nastaju hidratirane vrste
- Hidratacija je reverzibilna

Difraktogrami (a) tankog filma MAPbI<sub>3</sub> pri R.H. od 70% i (b) tanki filmovi hidratiranog MAPbI<sub>3</sub> u suhoj atmosferi u različitim vremenskim intervalima (preuzeto iz literature).

# Utjecaj vode

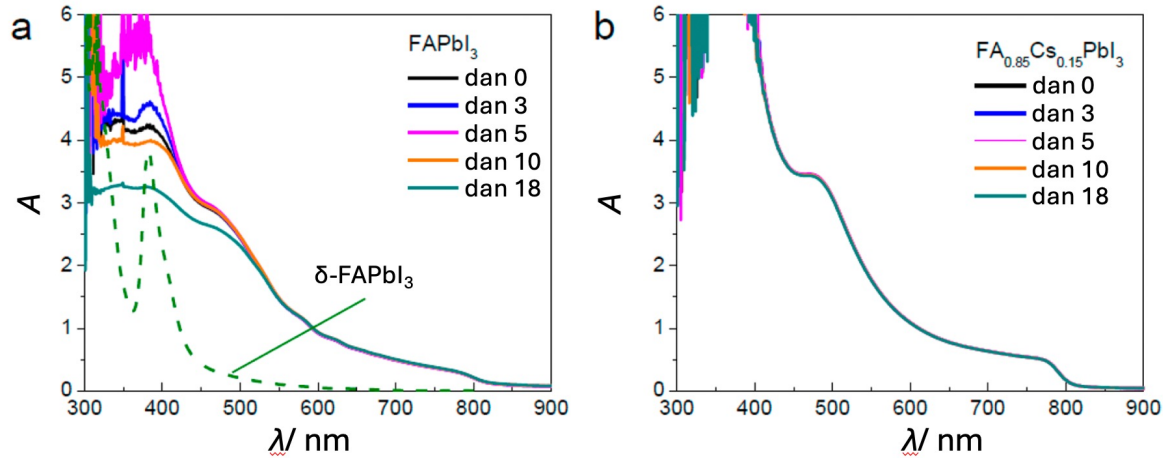


- Reverzibilna degradacija se može primijetiti i na performansama fotonaponskih ćelija

Strujno-naponske krivulje perovskitnih fotonaponskih ćelija nakon različitih vremenskih intervala u vlažnoj (77% R.H.) i suhoj atmosferi pri osvjetljenju od  $100 \text{ mW cm}^{-2}$  (AM = 1,5) (preuzeto iz literature).

# Strategije stabilizacije

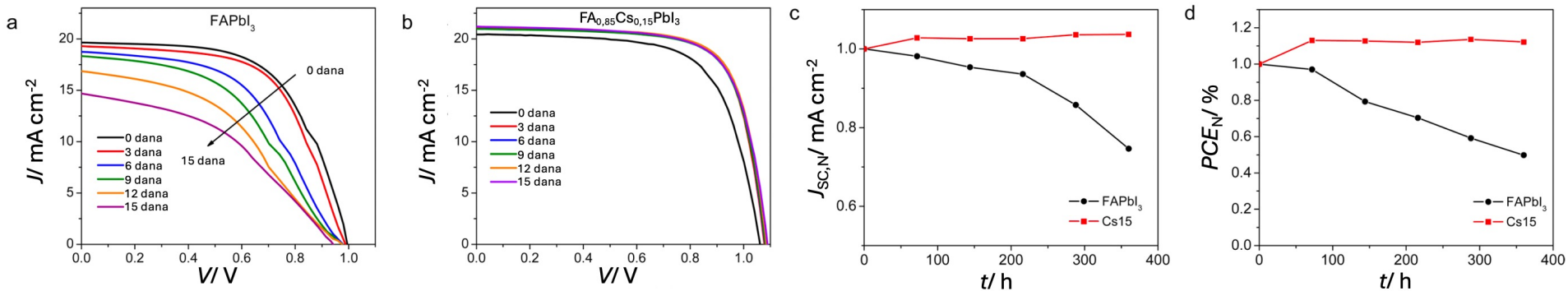
# Miješani kationi



- Zamjena 15 mol% formamidinijevih kationa s cezijevim stabilizira  $\alpha$ -fazu i inhibira prijelaz u  $\delta$ -fazu

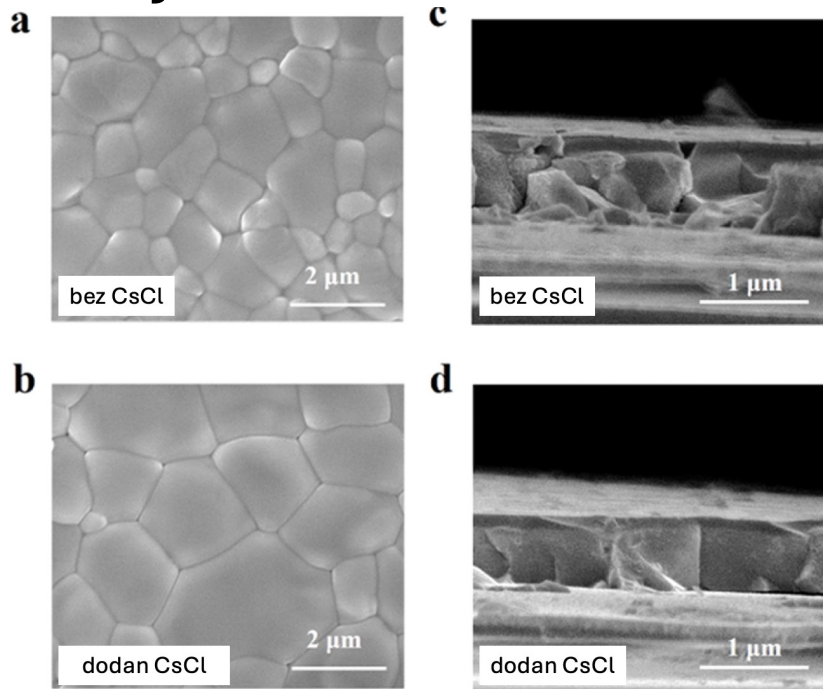
UV-Vis apsorpcijski spektri tankih filmova perovskita (a)  $\text{FAPbI}_3$  i (b)  $\text{FA}_{0.85}\text{Cs}_{0.15}\text{PbI}_3$  u pri različitim vremenima starenja u atmosferskim uvjetima (preuzeto iz literature).

# Miješani kationi

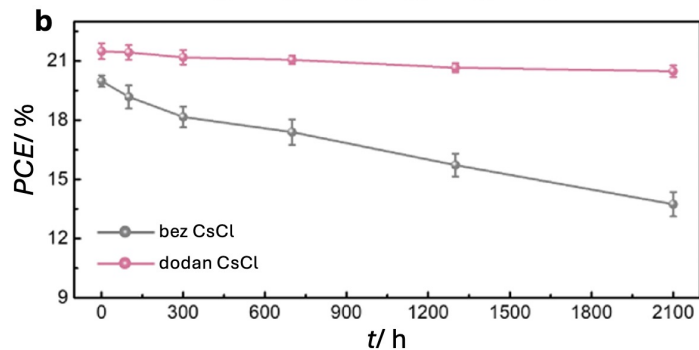
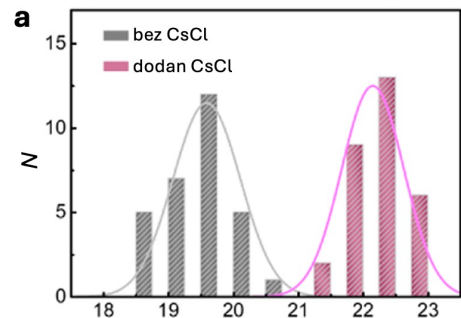


(a,b)  $J$ - $V$  krivulje perovskitnih fotonaponskih ćelija s (a)  $\text{FAPbI}_3$  i (b)  $\text{FA}_{0.85}\text{Cs}_{0.15}\text{PbI}_3$  pri različitim vremenima starenja, (c,d) promjena normiranih vrijednosti (c)  $J_{\text{sc}}$  i (d) efikasnosti pripadajućih perovskitnih fotonaponskih ćelija u vremenu pri osvjetljenju od  $100 \text{ mW cm}^{-2}$  ( $AM=1,5$ ) (preuzeto iz literature).

# Miješani anioni

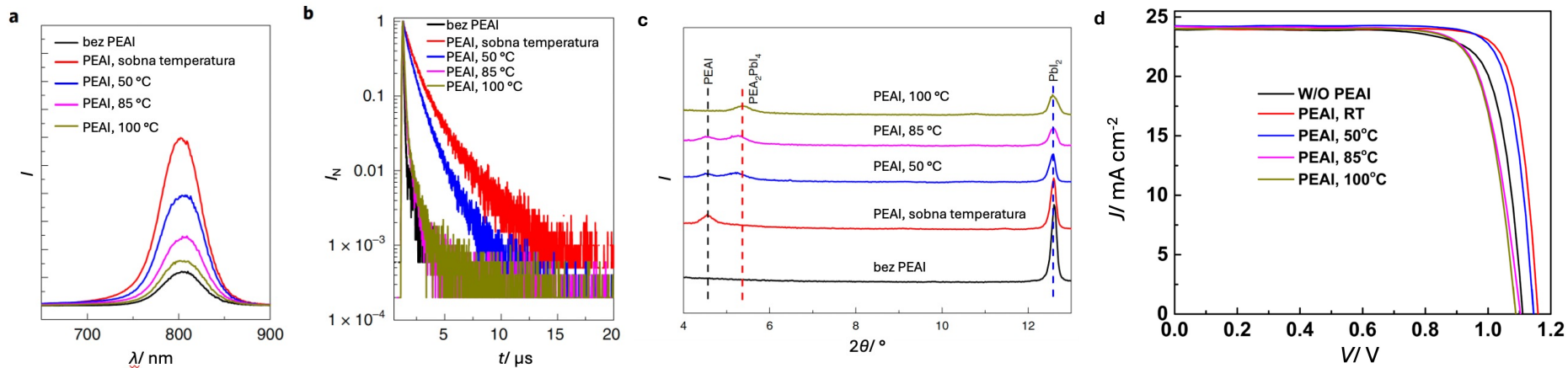


SEM slike (a,b) s topološkim pogledom i (c,d) poprečnim presjekom tankih filmova (a,c)  $\text{FA}_{0,93}\text{MA}_{0,07}\text{PbI}_{2,97}\text{Br}_{0,07}$  i (b,d) s dodanim CsCl ( $\gamma = 8 \text{ mg mL}^{-1}$ ) (preuzeto iz literature).



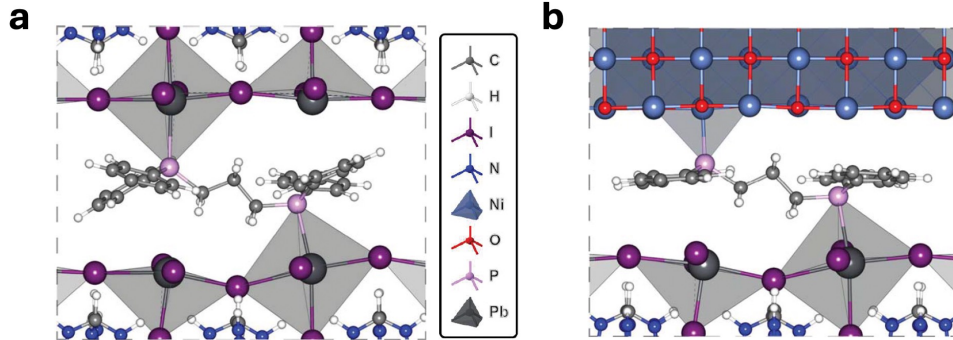
Energijske efikasnosti i (b) promjena efikasnosti u vremenu fotonaponskih ćelija s fazom čistog  $\text{FA}_{0,93}\text{MA}_{0,07}\text{PbI}_{2,97}\text{Br}_{0,07}$  i s dodatkom CsCl.

# Pasivizacijski sloj: PEAI



(a) Mjerenja fotoluminiscencije, (b) mjerenja vremenski-razlučene fotoluminiscencije i (c) rendgenska mjerenja perovskitnih tankih filmova pri različitim temperaturama, (d)  $J$ - $V$  krivulje perovskitnih fotonaponskih ćelija s i bez 2-fenil-etilamonij jodid (PEAI) kao pasivizacijskim slojem pri osvjetljenju od  $100 \text{ mW cm}^{-2}$  ( $AM = 1,5$ ) (preuzeto iz literature).

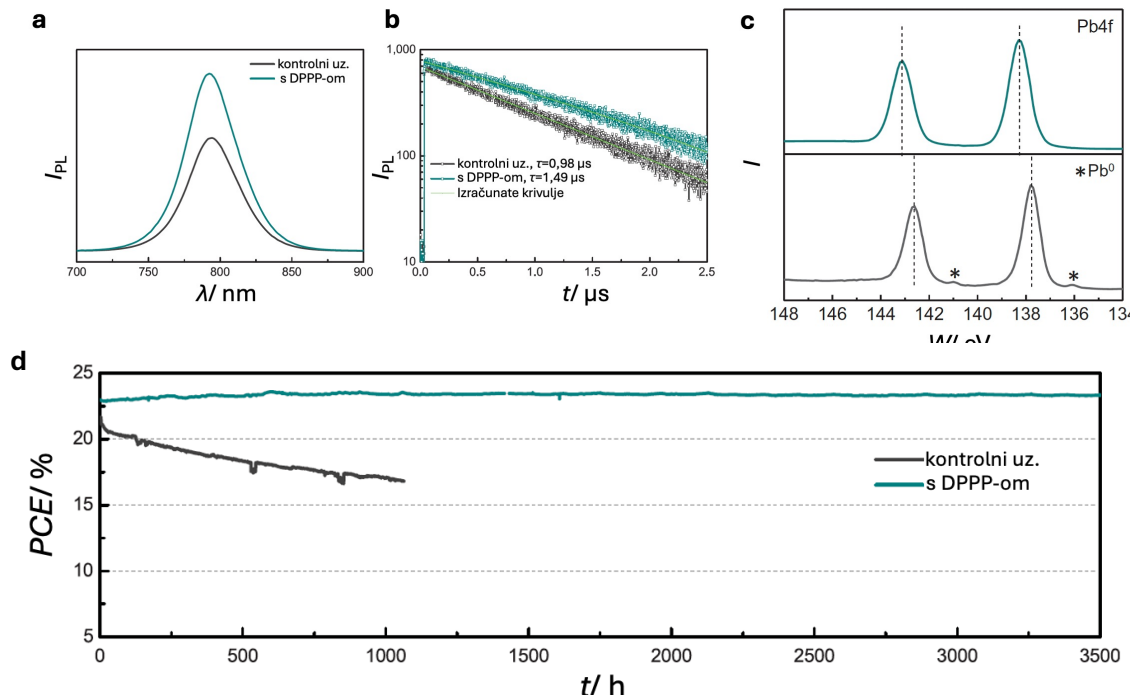
# Pasivizacijski sloj: DPPP



Prikaz DFT izračunatog vezanja 1,3-bis(difenilfosfino)propana (DPPP) (a) s dvije perovskitne faze i (b) s filmom NiO<sub>x</sub> i perovskitnom fazom (preuzeto iz literature).

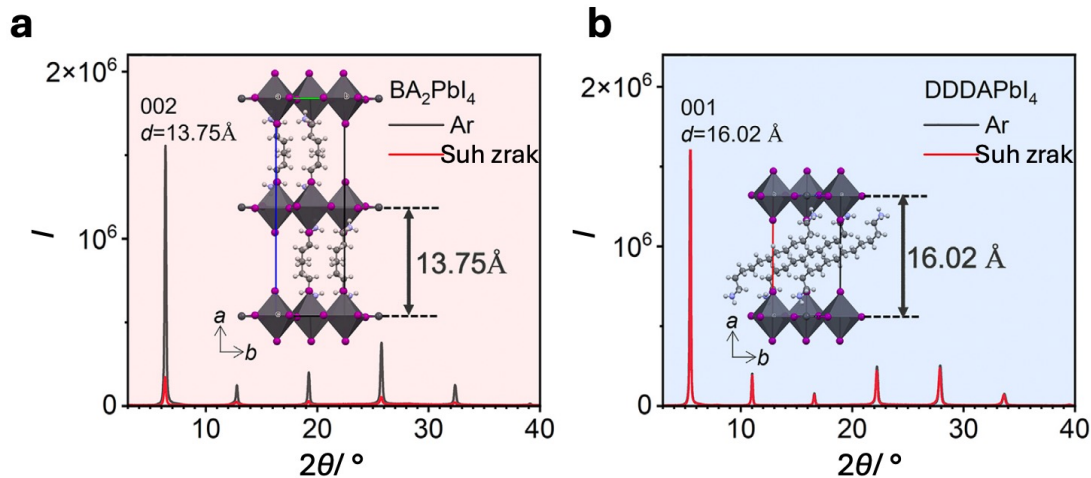
- DPPP se veže kao Lewisova baza na granicama kristalnih zrna
- Zatvara kanale slobodnih iona na granicama zrna i djelomično sprječava migraciju iona

# Pasivizacijski sloj: DPPP



Mjerenja fotoluminiscencije, (b) mjerenja vremenski-razlučene fotoluminiscencije i (c) XPS mjerenja perovskitnih tankih filmova i (d) Promjena efikasnosti perovskitnih fotonaponskih ćelija s i bez DPPP kao pasivizacijskim slojem pri različitim uvjetima pri naponu  $V_{mp}$  i stalnim osvjetljenjem u atmosferi dušika i bez hlađenja (preuzeto iz literature).

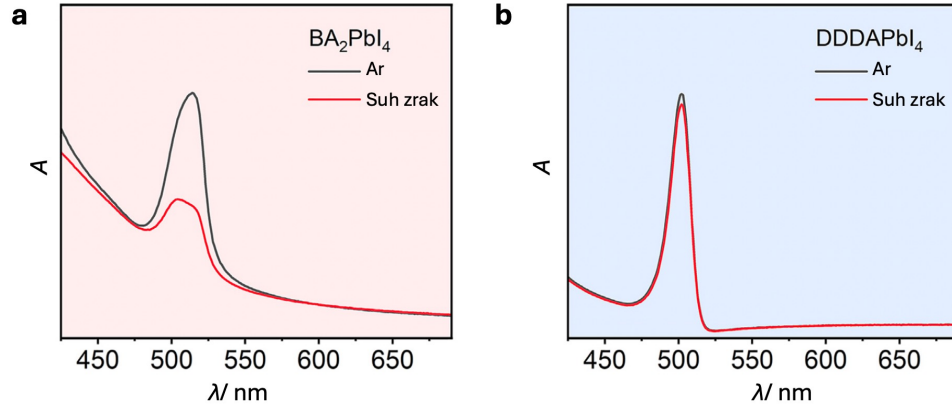
# Hibridne 3D/2D strukture



Digraktogrami uzoraka tankih filmova (a)  $BA_2PbI_4$  ( $BA^+$ =butilamonijev kation) (b)  $DDDAPbI_4$  ( $DDDA^{2+}$  = dodecil-1,12-diamonijev kation) i modeli predložene strukture temeljem rezultata (preuzeto iz literature).

- **Ruddelsten-Popper (RP) strukture:** jednovalentni voluminozni organski kation
- **Dion-Jacobson (DJ) strukture:** dvovalentni voluminozni organski kation

# Hibridne 3D/2D strukture



Apsorpcijski spektri tankih filmova (a)  $\text{BA}_2\text{PbI}_4$  i (b)  $\text{DDDAPbI}_4$  nakon osvjetljavanja ( $P_d = 100 \text{ mW cm}^{-2}$ ;  $AM = 1,5$ ) u argonu i u suhoj atmosferi (preuzeto iz literature).

- Perovskite strukture tipa DJ pokazuju višu stabilnost
- **Hipoteza:** potrebna dvostruka deprotonacija za iniciranje degradacije

# Zaključak

- Usprkos superiornim performansama, perovskitne fotonaponske ćelije imaju drastično sniženu izdržljivost
- Mehanizam degradacije perovskitnih materijala je izrazito kompleksan i daljnja istraživanja su nužna
- Perovskitni spojevi pokazuju osjetljivost na kisik, vlagu, svjetlost te mehanički i temperaturni stres
- Postoje efikasne metode stabilizacije perovskitnih materijala koje ciljaju na različite aspekte njihove degradacije